

# AULA II – PARTE A: CONVECÇÃO INTERNA

Caraterização dos escoamentos internos: velocidade média, perfil de velocidades

Caraterização térmica: temperatura média, escoamentos totalmente desenvolvidos

O balanço energético em escoamentos internos

Coeficiente de transferência de calor por convecção: escoamentos internos laminares. Escoamentos internos turbulentos.

Condutas não circulares.

Melhoria da transferência de calor em escoamentos internos



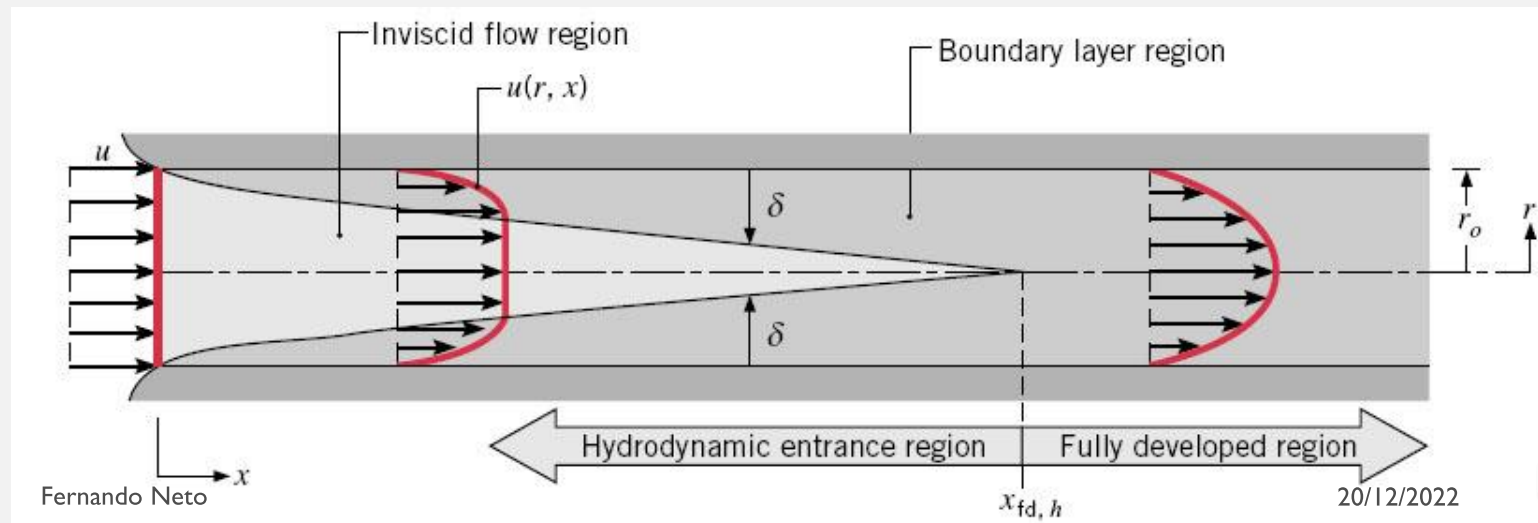
# PARTICULARIDADES HIDRODINÂMICAS DOS ESCOAMENTOS INTERNOS



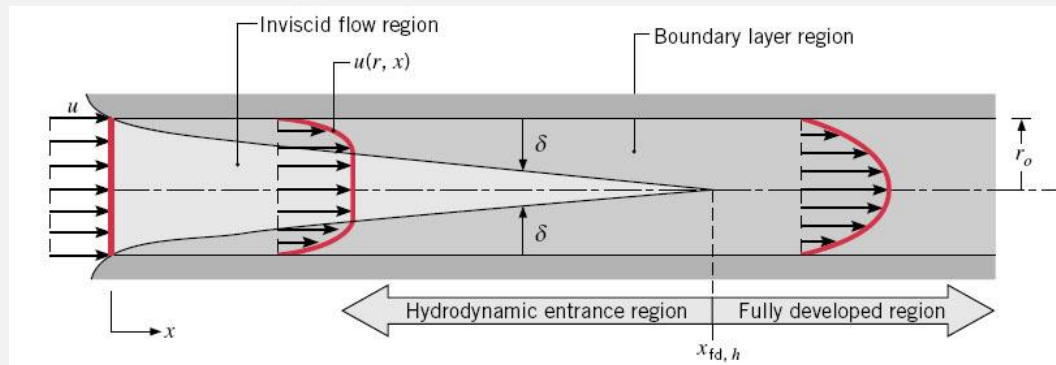
# ESCOAMENTO INTERNO

- **Escoamento interno:**

- O escoamento não é apenas influenciado pelas suas características laminares ou turbulentas mas também pelo estado do seu desenvolvimento podendo distinguir-se a:
  - Região de entrada
  - Região completamente desenvolvida
- O fluido encontra-se confinado pela parede da conduta o que **impede** o desenvolvimento de uma camada limite em moldes idênticos ao que acontece com uma placa plana



# COMPRIMENTO DE ENTRADA HIDRODINÂMICO



- Em qualquer escoamento confinado, o contato do fluido com as paredes da conduta promove o desenvolvimento de uma camada limite como consequência do atrito fluido-parede
- Num escoamento interno, a camada limite “funde-se” no eixo da conduta; a partir deste momento os efeitos do atrito viscoso estendem-se a toda a seção da conduta e o **perfil de velocidade não varia mais com  $x$**
- Nestas circunstâncias, o escoamento do fluido encontra-se **completamente desenvolvido**
- A distância compreendida entre a entrada do fluido na conduta e o início do escoamento completamente desenvolvido é designada por **comprimento de entrada hidrodinâmico (ceh)**



# ESCOAMENTOS INTERNOS: O NÚMERO DE REYNOLDS

# NÚMERO DE REYNOLDS NUM ESCOAMENTO INTERNO

Contrariamente ao que acontece num escoamento sobre uma placa plana, num escoamento interno o número de Reynolds não varia com o comprimento percorrido no interior da conduta mas sim com o **diâmetro** da mesma:

$$Re = \frac{u_m \cdot D}{\nu} = \frac{\rho \cdot u_m \cdot D}{\mu}$$

$u_m$  designa a velocidade média do fluido calculada na secção transversal do tubo



# E SE A CONDUTA NÃO TIVER UMA SECÇÃO CIRCULAR?

Utiliza-se nesse caso o **diâmetro hidráulico**, dado por:

$$D_H = \frac{4A_C}{P}$$

$A_C$  – área da secção transversal da conduta  
 $P$  – perímetro molhado da conduta



# ESCOAMENTOS INTERNOS **LAMINARES E TURBULENTOS**

Num escoamento interno, a transição entre regime laminar e turbulento ocorre para um número de Reynolds crítico de  
 **$Re_{D,Cr}=2300$**





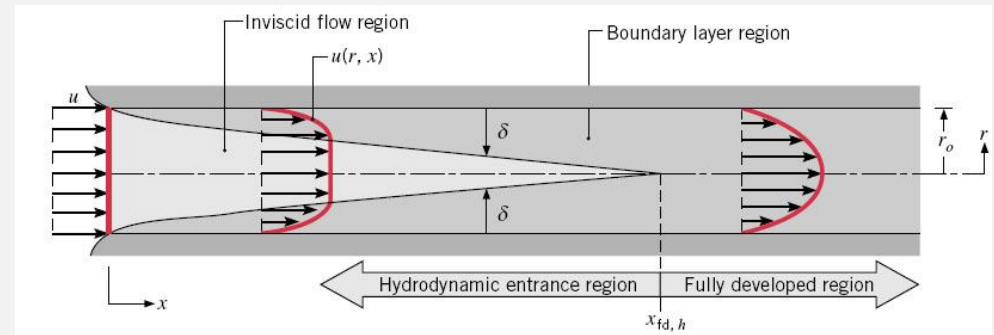
# EXTENSÃO DO COMPRIMENTO DE ENTRADA HIDRODINÂMICO

- Para um escoamento interno, o comprimento de entrada hidrodinâmico,  $x_{ceh}$ , é dado por:
  - Escoamento laminar (obtido aquando de uma entrada suave na conduta)

$$\left( \frac{x_{ceh}}{D} \right)_{lam} = 0,05 \cdot Re_D$$

- Escoamento turbulento

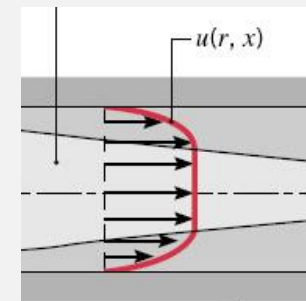
$$10 \leq \left( \frac{x_{ceh}}{D} \right)_{turb} \leq 60$$



# A VELOCIDADE EM ESCOAMENTOS INTERNOS

# CONCEITO DE VELOCIDADE MÉDIA

- Ao contrário de um escoamento externo, em que existe uma velocidade livre do escoamento,  $u_\infty$ , medida fora da camada-limite, em escoamentos internos tal conceito não está presente: a velocidade do escoamento varia no seio da secção transversal
- Assim, a determinação do número de Reynolds passa pela definição de uma velocidade média,  $u_m$
- A velocidade média no interior de uma conduta pode ser obtida a partir da definição de caudal



$$Re = \frac{u_m \cdot D}{\nu}$$

$$u_m = \frac{\dot{m}}{\rho \cdot A}$$



# DETERMINAÇÃO DO NUMERO DE REYNOLDS EM FUNÇÃO DO CAUDAL MÁSSICO DO ESCOAMENTO

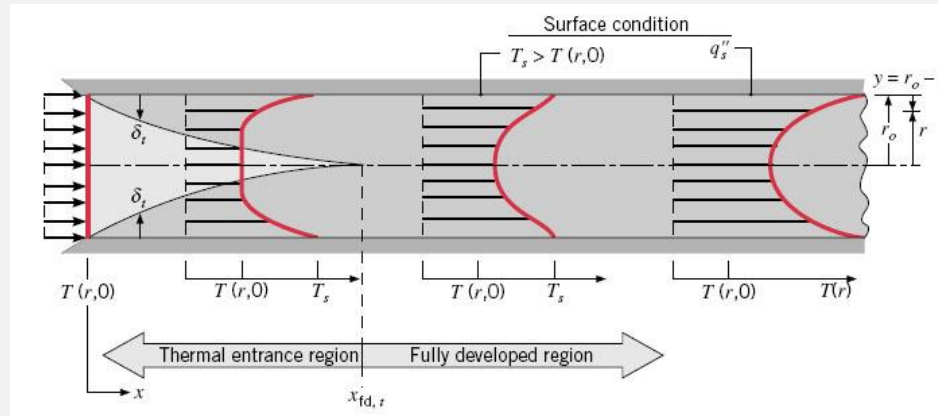
Utilizando as equações anteriores, para um fluido incompressível ( $\rho = \text{Cte}$ ), o número de Reynolds para uma conduta circular é dado por:

$$\text{Re}_D = \frac{4.\dot{m}}{\pi.D.\mu}$$



# A TEMPERATURA EM ESCOAMENTOS INTERNOS

# O COMPRIMENTO DE ENTRADA TÉRMICO NUM ESCOAMENTO INTERNO



Se a temperatura de entrada de um fluido numa conduta for diferente da temperatura da parede da mesma, ocorre transferência de calor convectivo e ocorre desenvolvimento de uma camada limite térmica.

Se a temperatura da parede se mantiver constante (ou se o fluxo de calor se mantiver constante), será alcançado um **escoamento plenamente desenvolvido termicamente**. O comprimento requerido para que esta situação seja alcançada é designado por **comprimento de entrada térmico**.

## Comprimento de entrada térmico:

1. Escoamento laminar:  $x_{CET\_LAM} = 0,05 \cdot Re_D \cdot Pr \cdot D$
2. Escoamento turbulento:  $x_{CET\_TURB} = 10 \cdot D$



## A TEMPERATURA MÉDIA DO FLUÍDO, $T_M$

Num escoamento interno, tal como não faz sentido o conceito de  $u_\infty$ , também o conceito de  $T_\infty$  está ausente. De facto a temperatura do fluído vai aumentando ou diminuindo ao longo do tubo (consoante tenhamos um processo de aquecimento ou de arrefecimento do fluido).

No entanto, o conhecimento da temperatura é essencial para o cálculo do calor transferido da parede interior de uma conduta à temperatura  $T_s$  para o fluído que estará à temperatura média  $T_m$  através de

$$q'' = h(T_s - T_m)$$

Como se determina  $T_m$ ?

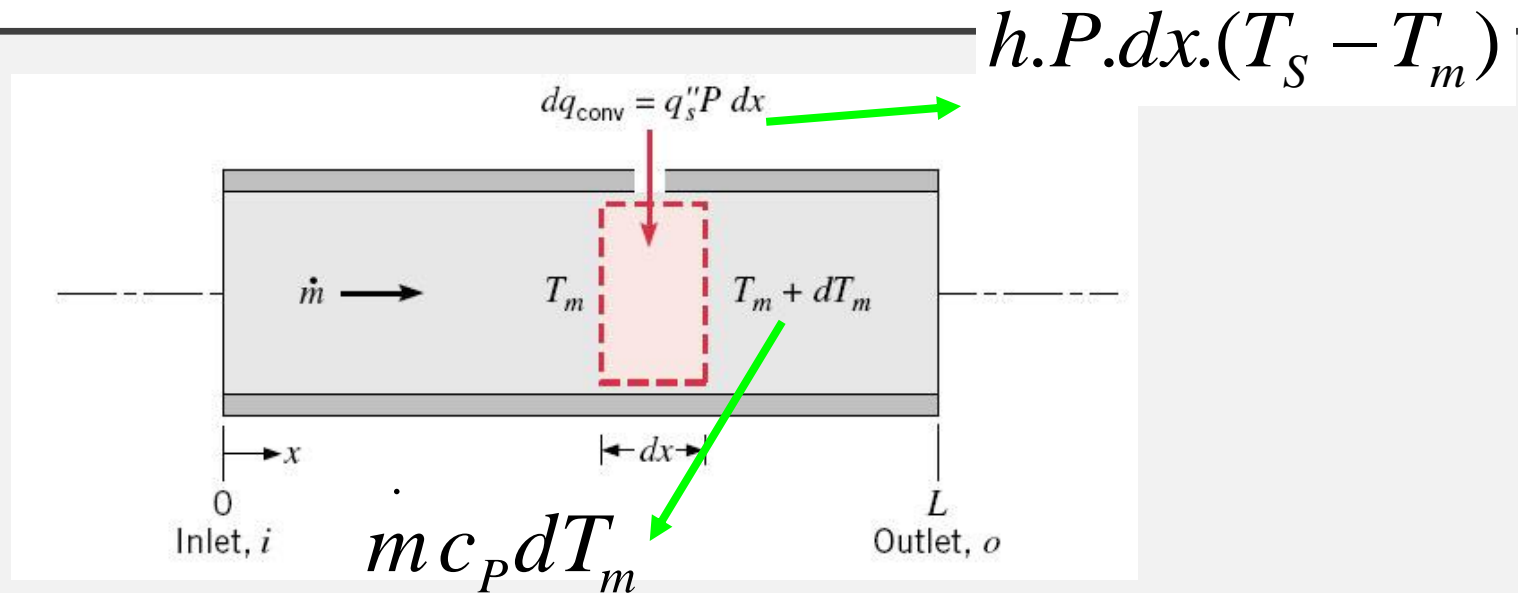


# UM BALANÇO ENERGÉTICO NUM ESCOAMENTO INTERNO





# VARIAÇÃO DE $T_m$ COM $x$ : O BALANÇO ENERGÉTICO



Um balanço energético executado no volume em análise conduz a

$$\dot{m} . c_P . dT_m = h . P . dx . (T_s - T_m)$$

Isolando  $dT_m/dx$  na equação acima, vem

$$\frac{dT_m}{dx} = \frac{h.P}{\dot{m}.c_P} (T_s - T_m)$$

**SOLUÇÃO PARA A DISTRIBUIÇÃO DE TEMPERATURA:  
CASO I, FLUXO DE CALOR A PARTIR DA PAREDE  
CONSTANTE** (CONDUTA SUJEITA A UM VALOR CONSTANTE DE  
RADIAÇÃO, ENVOLVIDA POR RESISTÊNCIAS ELÉTRICAS, ETC.)

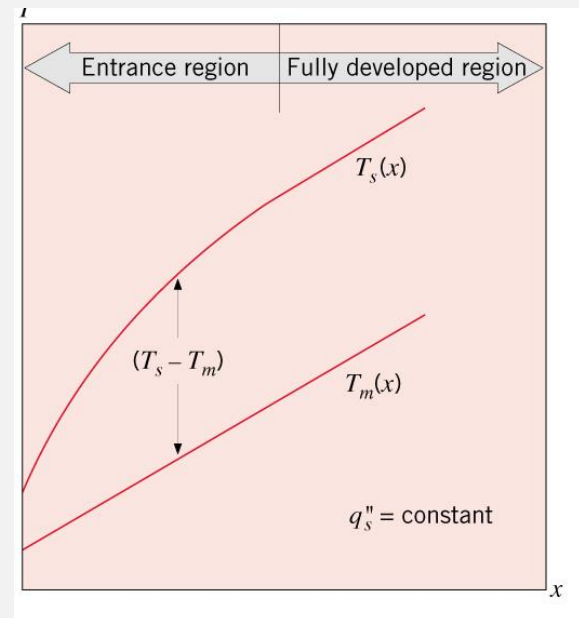
Por integração da equação anterior para  $q''=h(T_s-T_m)=Cte$ , vem

$$\frac{dT_m}{dx} = \frac{h.P}{\dot{m}.c_p} (T_s - T_m) = \frac{P.q''}{\dot{m}.c_p}$$

$$T_m(x) = T_{m,i} + \frac{q_s'' P}{\dot{m} c_p} x$$

$T_m$  varia linearmente com  $x$

$$q_{conv} = q_s'' PL$$

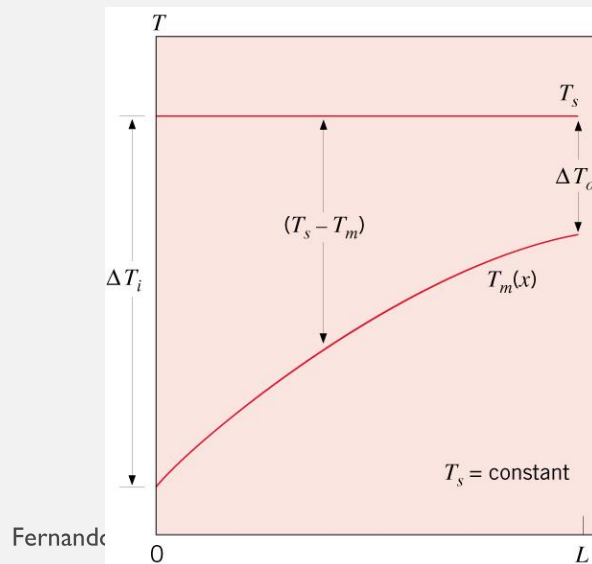


SOLUÇÃO PARA A DISTRIBUIÇÃO DE TEMPERATURA:  
**CASO 2, TEMPERATURA DA PAREDE ( $T_s$ ) CONSTANTE** (FLUÍDO EM  
 CONDENSAÇÃO OU EVAPORAÇÃO NA PAREDE EXTERNA DA CONDUTA,  
 TUBO RODEADO POR FLUÍDO A TEMPERATURA CONSTANTE, ETC.)

$$\begin{aligned} \Delta T &= T_s - T_m \\ \frac{dT_m}{dx} &= -\frac{d(\Delta T)}{dx} \\ -\frac{d(\Delta T)}{dx} &= \frac{P}{\dot{m}c_p} h \Delta T \end{aligned} \quad \frac{dT_m}{dx} = \frac{h.P}{\dot{m}.c_p} (T_s - T_m)$$

$$\int_{\Delta T_i}^{\Delta T_o} \frac{d\Delta T}{\Delta T} = -\frac{P}{\dot{m}c_p} \int_0^L h dx$$

$$\frac{T_s - T_m(x)}{T_s - T_{m,i}} = \exp\left(-\frac{Px}{\dot{m}c_p} \bar{h}_x\right)$$



O calor total transferido por convecção no interior da conduta é:

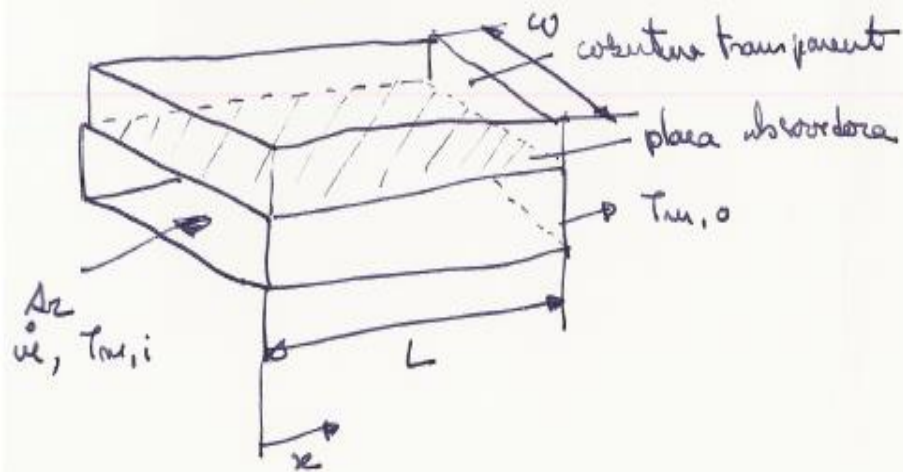
$$q_{conv} = \bar{h} A_s \Delta T_{\ell m}$$

$$\Delta T_{\ell m} = \frac{\Delta T_o - \Delta T_i}{\ln(\Delta T_o / \Delta T_i)}$$



## EXEMPLO DE APLICAÇÃO II ( $Q'' = \text{CTE}$ )

Um coletor solar plano é utilizado para aquecer ar que se escoa através de um canal rectangular de comprimento  $L$ . A superfície inferior do canal encontra-se bem isolada enquanto a superfície superior se encontra sujeita a um fluxo de calor  $q''_0$  devido à absorção de energia solar.

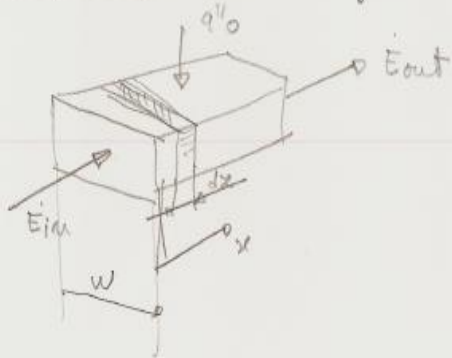


- determine a equação que possibilita determinar  $T_{m,x}$ .
- calcule  $T_{m,0}$
- Se  $u_i = 0,1 \text{ m/s}$ ,  $T_{m,i} = 40^\circ\text{C}$ ,  $L = 3 \text{ m}$ ,  $w = 1 \text{ m}$ ,  $q''_0 = 700 \text{ W/m}^2$  e  $c_p = 1008 \text{ J/kg}^\circ\text{C}$ , qual o valor de  $T_{m,0}$ ?



## EXEMPLO DE APLICAÇÃO II (RESOLUÇÃO)

Balanco energético : a)  $\dot{E}_{out} = \dot{q}''_0 + \dot{E}_{in}$ . Para um volume de controle de comprimento  $dx$ ,



$$\dot{m} c_p T_{m,i} + \dot{q}''_0 (w \cdot dx) = \dot{m} c_p (T_{m,i} + dT_m)$$

$$\Leftrightarrow \frac{dT_m}{dx} = \frac{\dot{q}''_0 \cdot w}{\dot{m} \cdot c_p}$$

Integrando entre  $x=0$  e  $x=x$ , resulta

$$T_m(x) = T_{m,i} + \frac{\dot{q}''_0 (w \cdot x)}{\dot{m} \cdot c_p}$$

a) Para  $x=L$ , teremos

$$T_{m,o} = T_{m,i} + \frac{\dot{q}''_0 \cdot w \cdot L}{\dot{m} \cdot c_p}$$

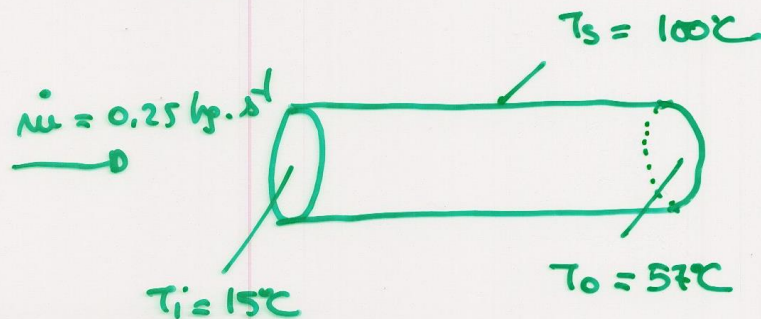
c) Das condições do problema, resulta:

$$T_{m,o} = 40 + \frac{700 \times 1 \times 3}{0,1 \times 1008} = 60,8^\circ\text{C}$$



## EXEMPLO DE APLICAÇÃO III ( $T_s = \text{CTE}$ )

Problema : vapor condensa-se no exterior de um tubo com 50 mm de  $\phi$  e com um comprimento de 6 m, mantendo uma temperatura à superfície do tubo constante e igual a  $100^\circ\text{C}$ . Água circula no interior do tubo com um caudal de  $0,25 \text{ kg/s}$  sendo as suas temperaturas à entrada e à saída de  $15^\circ\text{C}$  e  $57^\circ\text{C}$ . Qual o coeficiente médio de transferência de calor?



## EXEMPLO DE APLICAÇÃO III ( $T_s = \text{CTE}$ )

Negligenciando a resistência térmica associada à parede do tubo e admitindo propriedades constantes.

Para água a  $36^\circ\text{C}$ ,  $c_p = 4178 \text{ J} \cdot \text{kg}^{-1} \cdot \text{K}^{-1}$

Um balanço energético entre a entrada e a saída do tubo, digamos que  $q_{\text{conv}} = \dot{m} \cdot c_p (T_{m,o} - T_{m,i})$  (1)

Por outro lado  $q_{\text{conv}} = \bar{h} \cdot A_s \cdot \Delta T_{\text{em}}$  (2)  
Igualando (1) e (2), vem:

$$\bar{h} = \frac{\dot{m} \cdot c_p}{\pi D L} \left( \frac{T_{m,o} - T_{m,i}}{\Delta T_{\text{em}}} \right)$$

$$\Delta T_{\text{em}} = \frac{(100 - 57) - (100 - 15)}{\ln \frac{100 - 57}{100 - 15}} = 61,6^\circ\text{C}$$

Substituindo, vem  $\bar{h} = 756 \text{ W} \cdot \text{m}^{-2} \cdot \text{K}^{-1}$



# O COEFICIENTE TRANSFERÊNCIA DE CALOR EM ESCOAMENTOS INTERNOS





# ESCOAMENTO LAMINAR EM CONDUTAS DE SECÇÃO CIRCULAR: REGIÃO DE ESCOAMENTO DESENVOLVIDO

O número de Nusselt associado a um escoamento laminar na zona de escoamento plenamente desenvolvido é dado por:

1. Fluxo térmico uniforme à superfície ( $q''=Cte$ )

$$Nu_D = 4,36$$

2. Temperatura à superfície constante ( $T_s=Cte$ )


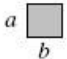
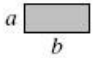

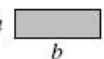
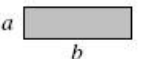
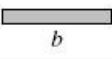


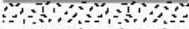

$$Nu_D = 3,66$$

$$Nu_D = \frac{h_D \cdot D}{k}$$



# ESCOAMENTO LAMINAR EM CONDUTAS NÃO-CIRCULARES: CORRELAÇÕES EMPÍRICAS PARA O COEFICIENTE DE TRANSFERÊNCIA DE CALOR EM ESCOAMENTOS DESENVOLVIDOS

**TABLE 8.1** Nusselt numbers and friction factors for fully developed laminar flow in tubes of differing cross section

Cross Section	$\frac{b}{a}$	$Nu_D \equiv \frac{hD_h}{k}$		$f Re_{D_h}$
		(Uniform $q_s''$ )	(Uniform $T_s$ )	
	—	4.36	3.66	64
	1.0	3.61	2.98	57
	1.43	3.73	3.08	59
	2.0	4.12	3.39	62
	3.0	4.79	3.96	69
	4.0	5.33	4.44	73
	8.0	6.49	5.60	82
	$\infty$	8.23	7.54	96
	$\infty$	5.39	4.86	96
	$\infty$	5.39	4.86	96
	—	3.11	2.49	53



# ESCOAMENTO LAMINAR EM CONDUTAS DE SECÇÃO CIRCULAR: REGIÃO DE ENTRADA

Os resultados para a região de entrada podem ser combinados numa única expressão com os dados obtidos para uma zona de escoamento desenvolvido:

$$\overline{Nu}_D = 1.86 \left( \frac{Re_D Pr}{L/D} \right)^{1/3} \left( \frac{\mu}{\mu_s} \right)^{0.14}$$

Condições de validade:

- Temperatura constante à superfície;
- Todas as propriedades devem ser avaliadas à temperatura média entre a entrada e a saída do tubo, com exceção da viscosidade  $\mu_s$  que é avaliada à temperatura da parede

$$0,60 \leq Pr \leq 5$$

$$0,0044 \leq \frac{\mu}{\mu_s} \leq 9,75$$



# ESCOAMENTO TURBULENTO EM CONDUTAS CIRCULARES: CORRELAÇÕES EMPÍRICAS PARA O COEFICIENTE DE TRANSFERÊNCIA DE CALOR

Os comprimentos de entrada em regime turbulento são, regra geral, reduzidos ( $10 \leq x_{CR}/D \leq 60$ ) o que significa que o número médio de Nusselt pode ser utilizado para a totalidade do comprimento do tubo

Para pequenos e médios valores de  $T_s - T_m$ , vem:

$$Nu_D = 0.023 Re_D^{4/5} Pr^n \quad \left\{ \begin{array}{l} n = 0.3 \quad (T_s < T_m) \\ n = 0.4 \quad (T_s > T_m) \end{array} \right. \quad \begin{array}{l} 0.7 \leq Pr \leq 160 \\ Re_D \geq 10000 \\ L/D \geq 10 \end{array}$$

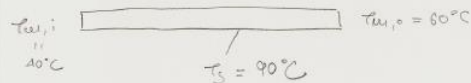
Para maiores valores de  $T_s - T_m$ , teremos:

$$Nu_D = 0.027 (Re_D)^{4/5} \cdot Pr^{1/3} \cdot \left( \frac{\mu}{\mu_s} \right)^{0.14} \quad \begin{array}{l} 0.7 \leq Pr \leq 16700 \\ Re_D \geq 10000 \\ L/D \geq 10 \end{array}$$



# EXEMPLO DE APLICAÇÃO IV

Pretende-se aquecer água desde  $T_{m,i} = 40^\circ\text{C}$  de  $T_{m,o} = 60^\circ\text{C}$  no interior de um tubo cujas paredes são mantidas a uma temperatura uniforme de  $90^\circ\text{C}$  e cujo diâmetro é 2 cm. Se a velocidade de entrada de água for  $3 \text{ m/s}$ , qual o comprimento requerido para o tubo?



Propriedades da água @  $\frac{60+40}{2} = 50^\circ\text{C}$

$$\begin{aligned} \rho &= 998 \text{ kg/m}^3 & \mu &= 4 \times 10^{-4} \text{ kg}\cdot\text{m}^{-1}\cdot\text{s}^{-1} \\ k &= 0,69 \text{ W}\cdot\text{m}^{-1}\cdot\text{K}^{-1} & \Pr &= 4170 \end{aligned}$$

$$Re = \frac{\rho \cdot u_m \cdot D}{\mu} = 146700$$

$$Nu_D = 0,023 \times Re_D^{4/5} \times \Pr^{0,4}$$

com  $\mu = 0,4$  para aquecimento  $\Rightarrow \mu = 0,3$  para arrefecimento.

Substituindo, vem

$$Nu_D = 0,023 \times (146700)^{4/5} \times (3,6)^{0,4} = 522$$

$$\frac{h \cdot D}{k} = 522 \Rightarrow \bar{h} = \frac{522 \times 0,69}{0,02} = 16693 \text{ W}\cdot\text{m}^{-2}\cdot\text{K}^{-1}$$

$$q = \bar{h} \cdot \pi \cdot D \cdot L \cdot (T_s - T_m) = 16693 \times \pi \times 0,02 \times L \times (90 - 50)$$

$$\bar{q} = \dot{m} \cdot c_p \cdot \Delta T = 0,922 \times 4170 \times 20 = 76873 \text{ W}$$

$$L = \frac{76873}{16693 \times \pi \times 0,02 \times 40} = 1,832 \text{ m}$$

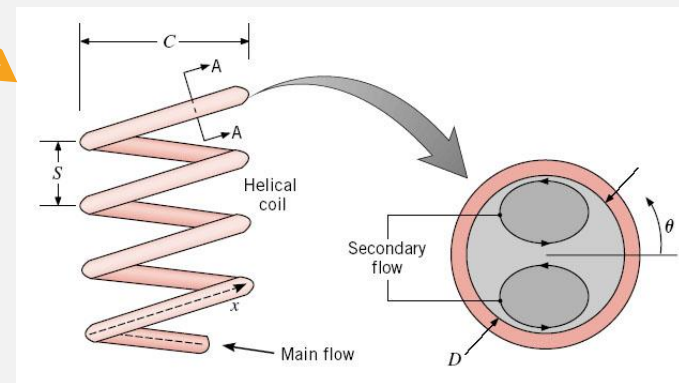
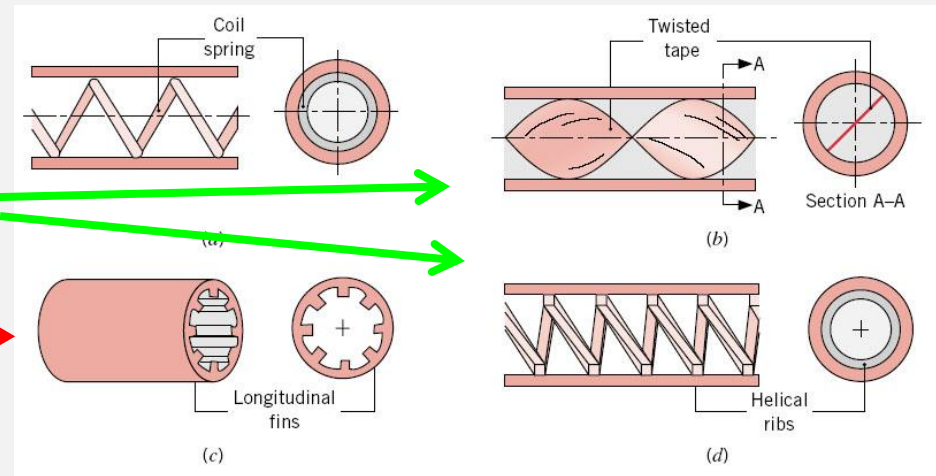


# A MAJORAÇÃO DO COEFICIENTE DE TRANSFERÊNCIA DE CALOR...

...pode ser obtida...

1. ...através do aumento do valor de  $h$ , por promoção da turbulência;
2. ...aumentando o valor da área disponível para a transferência de calor;
3. ...por alteração da geometria da tubagem.

No entanto, qualquer destas técnicas aumenta as necessidades de bombagem ou de ventilação



# AULA II – PARTE B: CONVECÇÃO NATURAL

- Convecção em escoamentos internos
- Os coeficientes convectivos de transferência de calor e de massa
- Camada limite
- Equações da conservação no seio da camada limite



# INTRODUÇÃO À CONVECÇÃO LIVRE



# INTRODUÇÃO

- Na convecção livre (ou natural) não há um escoamento imposto sobre a superfície de um sólido
- A convecção livre tem origem na atuação das forças gravitacionais sobre um fluido onde ocorrem gradientes de densidade devidos a gradientes de temperatura
- Os coeficientes de transferência de calor em convecção livre são, em regra, menores do que os obtidos em convecção forçada.
- Contudo a convecção livre é importante quando se pretende:
  - minimizar a transferência de calor
  - transferir calor com baixos custos de operação (p.e. com dispensa de ventilação)
- Aplicações:
  - Transferência de calor a partir de componentes eletrónicos
  - Transferência de calor em equipamentos de aquecimento doméstico (sem ruído)
  - Etc.

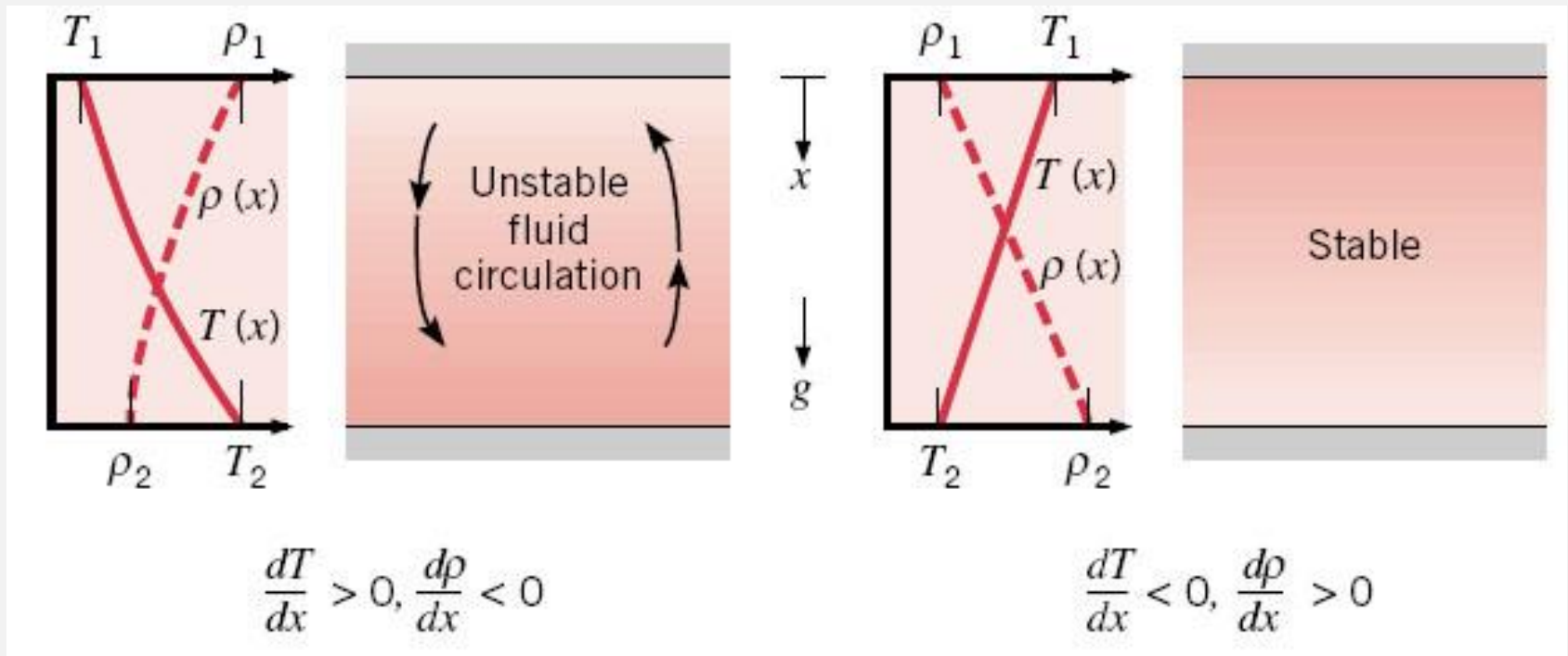


# PRINCÍPIO BÁSICO DA CONVECÇÃO LIVRE

- Para um dado fluído, sendo a densidade inversamente proporcional à temperatura, a ocorrência de gradientes de temperatura implica que existam gradientes de densidade
- Sendo a força gravitacional proporcional à densidade, na presença de gradientes de densidade ocorrem movimentos do fluído: o fluído mais quente sobe e é substituído pelo fluído a menor temperatura



# GRADIENTES DE TEMPERATURA E DE DENSIDADE



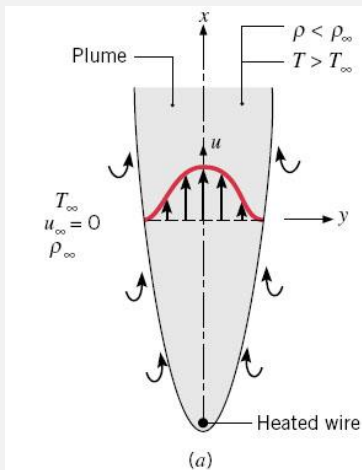
Se a diferença de temperatura ( $T_2 - T_1$ ) for suficiente para que a diferença de densidade se sobreponha às forças de atrito, ocorre convecção livre

Nem sempre a um gradiente de densidade corresponde um fenómeno de convecção livre

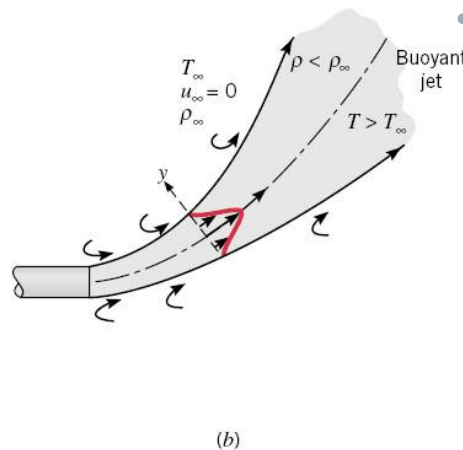
# ESCOAMENTOS LIVRES NÃO CONFINADOS

- **Caso A:** um fio aquece o ar circundante: este ascende formando-se uma pluma térmica que se alarga progressivamente. Esta pluma arrasta o ar confinante levando-o a participar no movimento. Eventualmente a pluma dissipa-se quando as forças de atrito se tornarem dominantes e o ar que participa no movimento arrefecer.

A



B

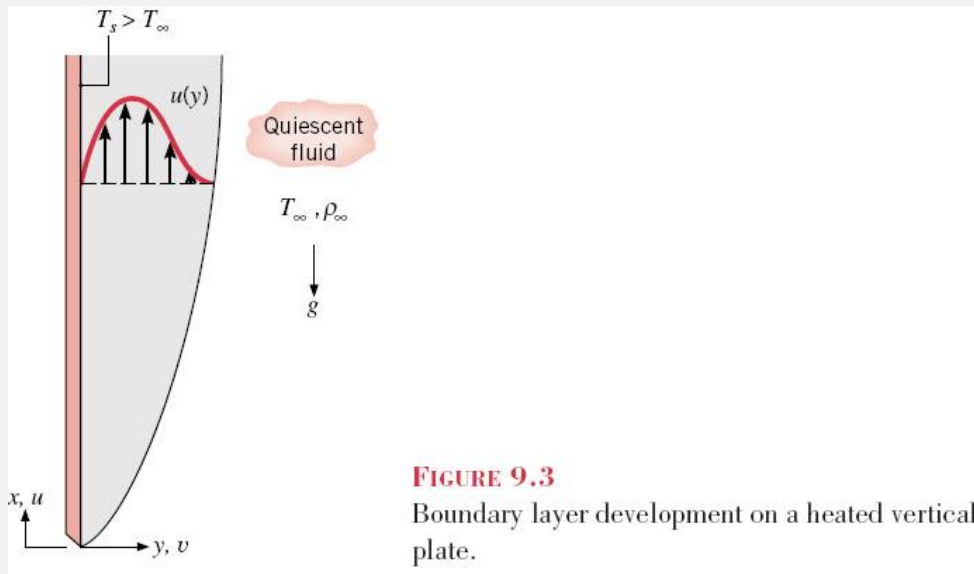


- **Caso B:** um fluido quente é descarregado no seio de um fluido a uma temperatura mais baixa (p.e., descarga da água de arrefecimento de um condensador de uma central térmica num lago). O fluido mais quente aquece o fluido circundante fazendo com que este participe no escoamento. Neste caso a velocidade inicial não é 0, contrariamente ao que acontece no caso A.



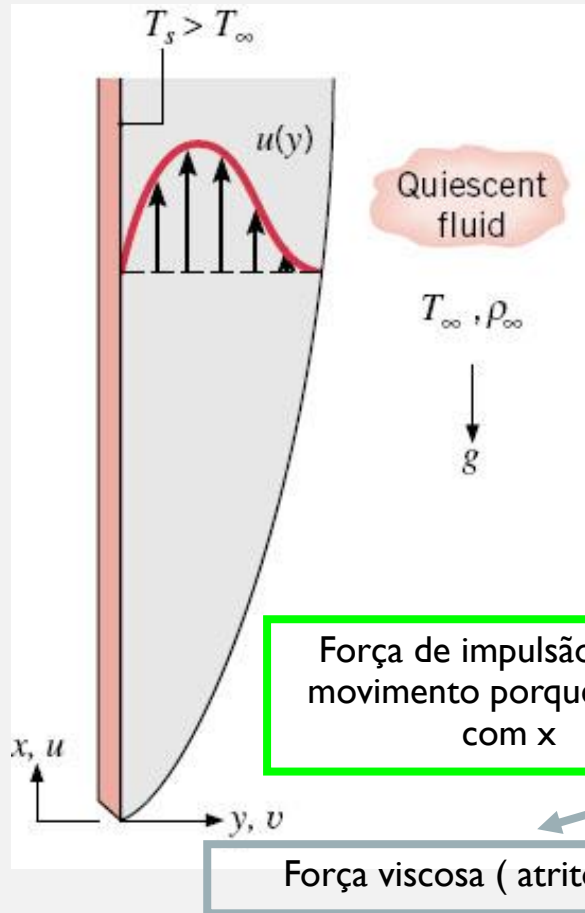
# ESCOAMENTOS LIVRES CONFINADOS

- O escoamento do fluido encontra-se condicionado por uma barreira sólida que limita o seu movimento



# O MÚMERO DE GRASHOF, $G_r$

# FORMULAÇÃO DAS EQUAÇÕES DA CONSERVAÇÃO PARA A CONVECÇÃO LIVRE



Equação da conservação da massa:

$$\frac{\partial u}{\partial x} + \frac{\partial v}{\partial y} = 0 \quad (I)$$

Equação da conservação da energia:

$$u \frac{\partial T}{\partial x} + v \frac{\partial T}{\partial y} = \alpha \frac{\partial^2 T}{\partial y^2} \quad (II)$$

Equação da conservação da quantidade de movimento na direção  $x$  (a ação da gravidade não pode ser desprezada):

$$u \frac{\partial u}{\partial x} + v \frac{\partial u}{\partial y} = -\frac{g}{\rho} (\rho_\infty - \rho) + \nu \frac{\partial^2 u}{\partial y^2} \quad (III)$$

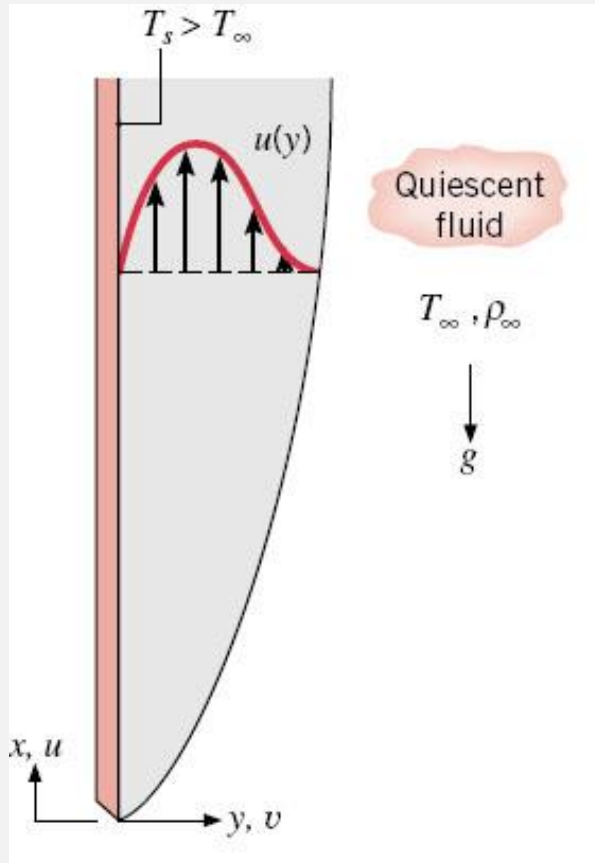
Força de impulsão: existe movimento porque  $\rho$  varia com  $x$

Força viscosa (atrito)

$$\rho_\infty - \rho = \rho \beta (T - T_\infty)$$



# FORMULAÇÃO DAS EQUAÇÕES DA CONSERVAÇÃO PARA A CONVECÇÃO LIVRE



Utilizando o conceito de coeficiente de expansão volumétrico,

$$\beta = -\frac{1}{\rho} \left( \frac{\partial \rho}{\partial T} \right)_p \text{ e atendendo a que } \rho_\infty - \rho = \rho \beta (T - T_\infty) \text{ então}$$

a equação da conservação da quantidade de movimento é dada por

$$u \frac{\partial u}{\partial x} + v \frac{\partial u}{\partial y} = g \beta (T - T_\infty) + \nu \frac{\partial^2 u}{\partial y^2} \quad (III)$$





# ADIMENSIONALIZAÇÃO DAS EQUAÇÕES DA CONSERVAÇÃO PARA A CONVECÇÃO LIVRE

Uma adimensionalização da equação da conservação da quantidade de movimento, permite que a mesma se possa escrever como

$$u^* \frac{\partial u^*}{\partial x^*} + v^* \frac{\partial u^*}{\partial y^*} = \frac{g\beta(T - T_\infty)L}{u_0^2} T^* + \frac{1}{\text{Re}_L} \frac{\partial^2 u^*}{\partial y^{*2}}$$

Na equação da conservação da quantidade de movimento o termo  $\frac{g\beta(T - T_\infty)L}{u_0^2}$  representa os efeitos da força de impulsão.

No entanto, e como este termo se baseia numa velocidade de referência arbitrária, é mais comum representar o efeito destas forças através do **número de Grashof,  $Gr_L$** , definido como:

$$Gr_L = \frac{g\beta(T - T_\infty)L}{u_0^2} \cdot \left( \frac{u_0 \cdot L}{\nu} \right)^2 = \frac{g\beta(T - T_\infty)L^3}{\nu^2}$$

Nota: Gr mede a relação entre os efeitos das forças de impulsão e o efeito das forças viscosas e representa em convecção livre em regime laminar o mesmo que Re na convecção forçada



# CONVECÇÃO LIVRE EM REGIME LAMINAR NUMA SUPERFÍCIE VERTICAL DE COMPRIMENTO $L$

# CONVECÇÃO LIVRE EM REGIME LAMINAR NUMA SUPERFÍCIE VERTICAL DE COMPRIMENTO L: COEFICIENTES DE TRANSFERÊNCIA DE CALOR

$$Nu_x = \frac{hx}{k} = - \left( \frac{Gr_x}{4} \right)^{1/4} \frac{dT^*}{d\eta} \bigg|_{\eta=0} = \left( \frac{Gr_x}{4} \right)^{1/4} g(Pr)$$

$$Gr_x = \frac{g\beta(T - T_\infty)x^3}{\nu^2}$$

$$g(Pr) = \frac{0.75 Pr^{1/2}}{(0.609 + 1.221 Pr^{1/2} + 1.238 Pr)^{1/4}} \quad (0 < Pr < \infty)$$

$$\bar{h} = \frac{1}{L} \int_0^L h dx \rightarrow \overline{Nu}_L = \frac{4}{3} Nu_L$$



# O NÚMERO DE RAYLEIGH, $Ra$

# CONVECÇÃO LIVRE EM REGIME TURBULENTO

Tal como acontece com a convecção forçada, também na convecção livre se fazem sentir os efeitos da turbulência. A transição entre escoamentos laminares e turbulentos, no caso da convecção livre, ocorre para valores de uma nova grandeza, **o número de Rayleigh,  $Ra$** , dado por:

$$Ra_{x,c} = Gr_{x,c} Pr = \frac{g \beta (T_s - T_\infty) x^3}{\nu \alpha} \approx 10^9$$



# CORRELAÇÕES EMPÍRICAS PARA A CONVECÇÃO LIVRE: PLACAS

# CORRELAÇÕES EMPÍRICAS PARA A CONVECÇÃO LIVRE

As correlações empíricas para a convecção livre são normalmente do tipo

$$\overline{Nu}_L = \frac{\bar{h}.L}{k} = C.Ra_L^n$$

onde

$$Ra_L = Gr_L \cdot Pr = \frac{g\beta(T_s - T_\infty)L^3}{\nu\alpha}$$

Para gases ideais  $\beta = 1/T$ , onde  $T$  é a temperatura em K. Para líquidos e gases não ideais,  $\beta$  deve ser determinado através das tabelas de propriedades desses fluídos.



# CORRELAÇÕES EMPÍRICAS PARA CONVECÇÃO LIVRE – A PLACA VERTICAL

$$\overline{Nu}_L = \left\{ 0.825 + \frac{0.387 Ra_L^{1/6}}{\left[ 1 + (0.492 / Pr)^{9/16} \right]^{4/9}} \right\}^2$$

Notas:

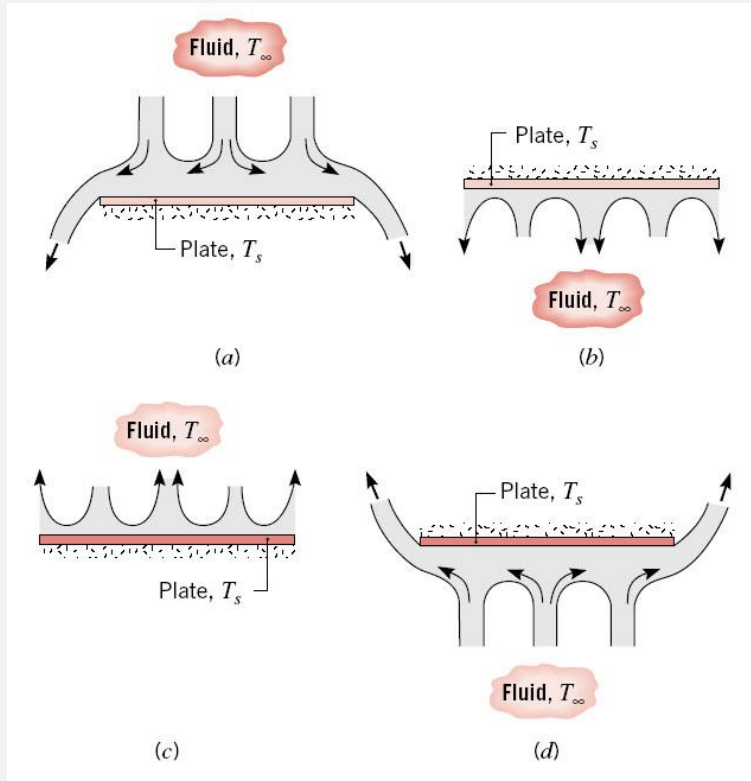
1. Este resultado é válido para todos os valores de Ra devendo as propriedades do fluído ser avaliadas à temperatura do filme;
2. Este resultado é extensível a cilindros verticais de altura L desde que a espessura da camada limite seja muito inferior ao diâmetro D do cilindro, o que ocorre sempre que:

$$\frac{D}{L} \geq \frac{35}{Gr_L^{1/4}}$$





# CORRELAÇÕES EMPÍRICAS PARA CONVECÇÃO LIVRE – PLACAS HORIZONTAIS



- Neste caso a força de impulsão é dirigida na direção perpendicular à superfície. As características do escoamento dependem do facto da placa se encontrar a uma temperatura maior ou menor do que a temperatura ambiente e de qual das superfícies (superior ou inferior) se encontra aquecida ou arrefecida
- Caso a): placa horizontal arrefecida na parte superior
- Caso b): placa horizontal arrefecida na parte inferior
- Caso c): placa horizontal aquecida na parte superior
- Caso d): placa horizontal aquecida na parte inferior

# CORRELAÇÕES EMPÍRICAS PARA CONVECÇÃO LIVRE – PLACAS INCLINADAS OU HORIZONTAIS

A dimensão característica a utilizar na determinação das grandezas adimensionais é o parâmetro  $L=A_s/P$  onde  $A_s$  é a área superficial da placa e  $P$  o perímetro da mesma.

Casos (b) e (d): superfície inferior de uma placa aquecida ou superfície superior de uma placa arrefecida:

$$10^5 \leq Ra_L \leq 10^{10} \quad \overline{Nu}_L = 0,27.Ra_L^{\frac{1}{4}}$$

Casos (a) e (c): superfície superior de uma placa aquecida ou superfície inferior de uma placa arrefecida

$$10^4 \leq Ra_L \leq 10^7 \quad \overline{Nu}_L = 0,54.Ra_L^{\frac{1}{4}}$$

$$10^7 \leq Ra_L \leq 10^{11} \quad \overline{Nu}_L = 0,157.Ra_L^{\frac{1}{3}}$$



# CORRELAÇÕES EMPÍRICAS PARA A CONVECÇÃO LIVRE: CILINDRO HORIZONTAL E ESFERA

# CORRELAÇÕES EMPÍRICAS PARA CONVECÇÃO LIVRE – CILINDRO HORIZONTAL LONGO

$$\overline{Nu_D} = C.Ra_D^n$$

$Ra_D$	C	n
$10^{-10}$ - $10^{-2}$	0,675	0,058
$10^{-2}$ - $10^2$	1,02	0,148
$10^2$ - $10^4$	0,85	0,188
$10^4$ - $10^7$	0,48	0,25
$10^7$ - $10^{12}$	0,125	0,333



# CORRELAÇÕES EMPÍRICAS PARA CONVECÇÃO LIVRE – ESFERAS

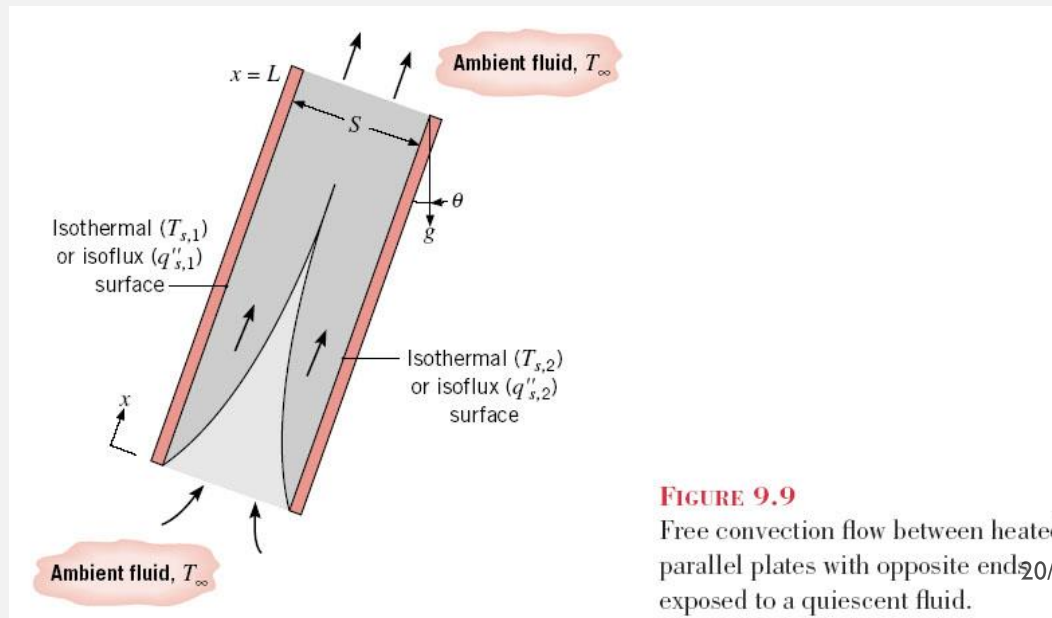
$$\overline{Nu}_D = 2 + \frac{0,589.Ra_D^{\frac{1}{4}}}{\left[1 + \left(\frac{0,469}{Pr}\right)^{\frac{9}{16}}\right]^{\frac{4}{9}}}$$



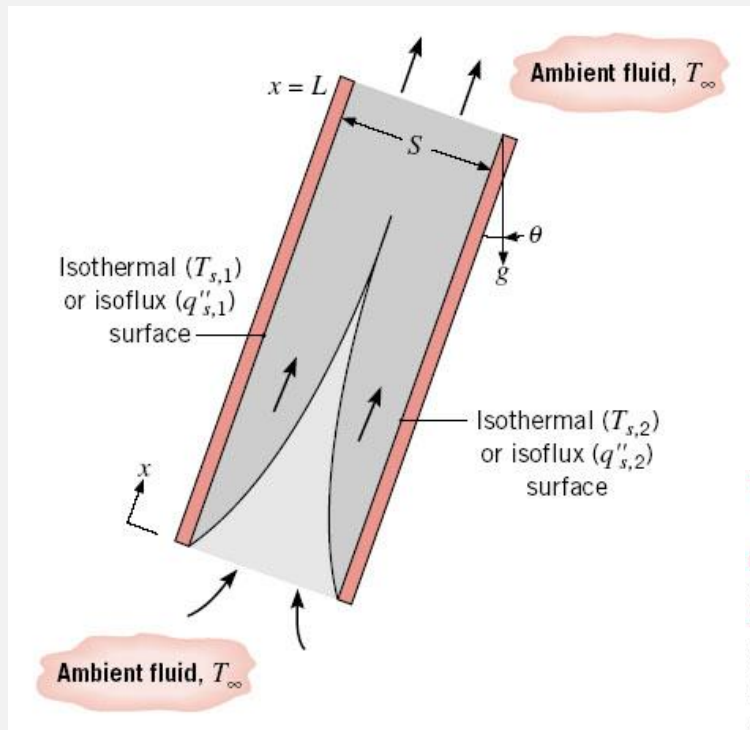
# CORRELAÇÕES EMPÍRICAS PARA A CONVECÇÃO LIVRE: CANALIS

# CORRELAÇÕES EMPÍRICAS PARA CONVECÇÃO LIVRE – CANAIS VERTICAIS - INTRODUÇÃO

- O escoamento através de canais é uma situação que ocorre frequentemente em que um canal, aberto nos topos, e cujas paredes se encontram a uma temperatura distinta da temperatura ambiente, é percorrido por um escoamento induzido por essa diferença de temperatura (por exemplo, escoamento em convecção livre no espaço existente entre duas alhetas)
- Se as paredes do canal se encontrarem muito afastadas ou se o canal for muito curto, as camadas limite desenvolvem-se como se de uma placa isolada se tratasse; nos casos restantes ocorre coalescência das camadas limite



# CORRELAÇÕES EMPÍRICAS PARA CONVECÇÃO LIVRE CANAIS VERTICAIS



Ar em canais verticais

$$\overline{Nu}_S = \left[ \frac{C_1}{\left( Ra_S^* \cdot \frac{S}{L} \right)} + \frac{C_2}{\left( Ra_S^* \cdot \frac{S}{L} \right)^{\frac{2}{5}}} \right]^{-\frac{1}{2}}$$

$$Ra_S = \frac{g\beta(T_s - T_\infty) \cdot S^3}{\alpha \cdot \nu}$$

**TABLE 9.3** Heat transfer parameters for free convection between vertical parallel plates

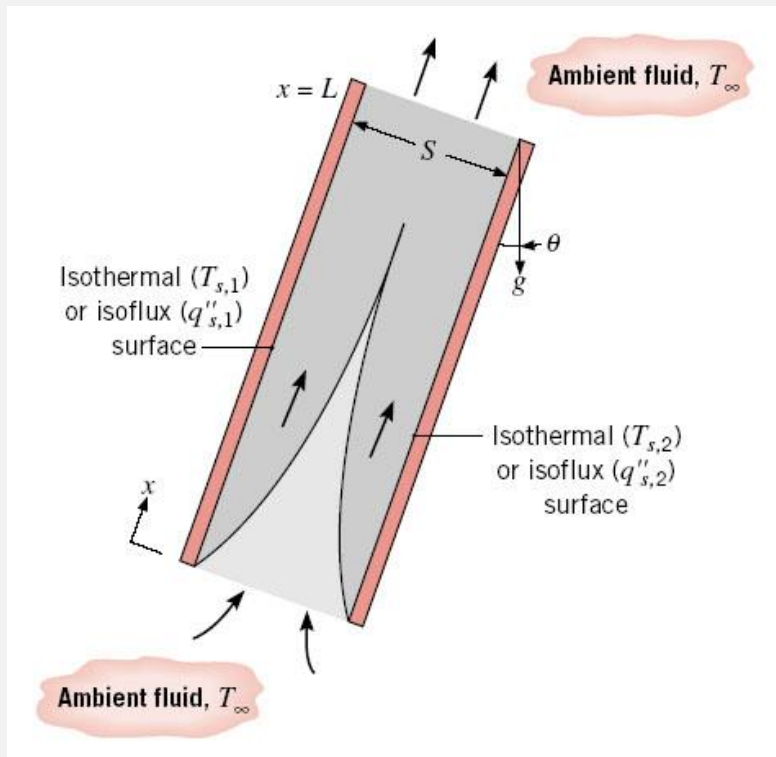
Surface Condition	$C_1$	$C_2$	$S_{opt}$	$S_{max}/S_{opt}$
Symmetric isothermal plates ( $T_{s,1} = T_{s,2}$ )	576	2.87	$2.71(Ra_S/S^3L)^{-1/4}$	1.71
Symmetric isoflux plates ( $q''_{s,1} = q''_{s,2}$ )	48	2.51	$2.12(Ra_S^*/S^4L)^{-1/5}$	4.77
Isothermal/adiabatic plates ( $T_{s,1}, q''_{s,2} = 0$ )	144	2.87	$2.15(Ra_S/S^3L)^{-1/4}$	1.71
Isoflux/adiabatic plates ( $q''_{s,1}, q''_{s,2} = 0$ )	24	2.51	$1.69(Ra_S^*/S^4L)^{-1/5}$	4.77

$S_{OPT}$  – espaçamento entre alhetas que otimiza a transferência de calor embora possa ocorrer coalescência entre camadas limite adjacentes (numa superfície alhetada, embora q decresça com S, o número de alhetas que pode ser colocada numa dada superfície aumenta com uma diminuição de S sendo otimizada a transferência de calor).  $S_{MAX}$  – espaçamento entre alhetas que garante que não há coalescência entre camadas limite (maximiza a transferência de calor por convecção no canal)





# CORRELAÇÕES EMPÍRICAS PARA CONVECÇÃO LIVRE CANAIS INCLINADOS

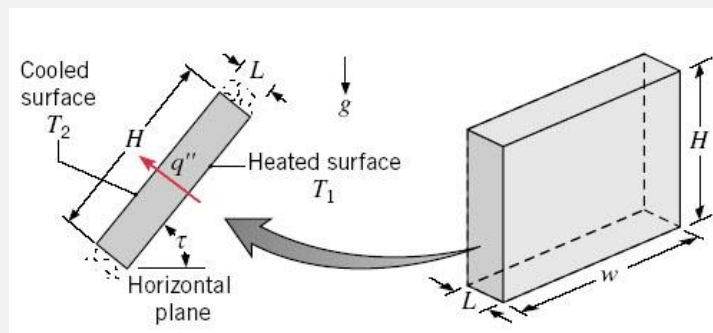


$$\overline{Nu}_S = 0,645 \left( Ra_s \cdot \frac{S}{L} \right)^{\frac{1}{4}}$$

# CORRELAÇÕES EMPÍRICAS PARA A CONVECÇÃO LIVRE: CAVIDADES

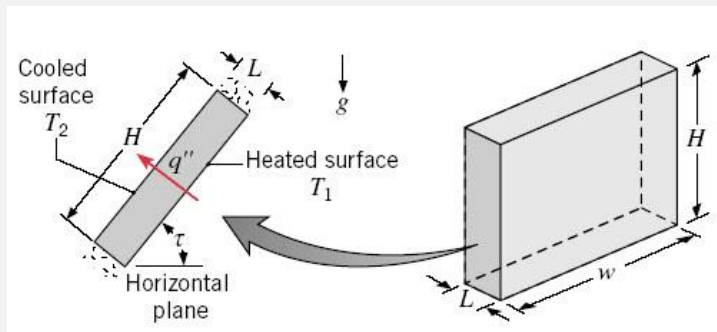
# CORRELAÇÕES EMPÍRICAS PARA CONVECÇÃO LIVRE – CAVIDADES RECTANGULARES - INTRODUÇÃO

- Em muitas aplicações de engenharia, a transferência de calor ocorre em fluídos que se encontram totalmente confinados no interior de um sólido.
- Uma “cavidade retangular” designa um espaço com a configuração de um paralelepípedo em que duas das paredes opostas são mantidas a temperaturas distintas, encontrando-se as restantes isoladas adiabaticamente.
- O ângulo  $\tau$  da inclinação da cavidade relativamente à horizontal pode variar entre  $0^\circ$  (cavidade horizontal com aquecimento inferior),  $90^\circ$  (cavidade vertical com aquecimento lateral) ou  $180^\circ$  (cavidade horizontal com aquecimento superior)
- O calor transferido através da cavidade [ $q''=h(T_1-T_2)$ ] depende fortemente da relação  $H/L$  bem como do valor do ângulo  $\tau$

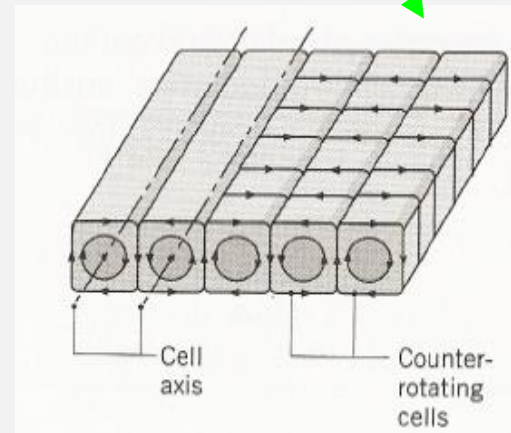


# CORRELAÇÕES EMPÍRICAS PARA CONVECÇÃO LIVRE – CAVIDADES RECTANGULARES HORIZONTAIS – CONSIDERAÇÕES PRELIMINARES

- Para a cavidade horizontal aquecida na superfície inferior ( $\tau=0^\circ$ ), para relações  $H/L$  e  $w/L \gg 1$  e para  $Ra_L < Ra_{Lcr} = 1708$ , as forças de impulsão não conseguem vencer as forças viscosas: a transferência de calor faz-se por condução e não por convecção
- Para  $1708 < Ra < 5 \times 10^4$ , o escoamento do fluido é de natureza celular
- Para  $Ra > 5 \times 10^4$  o escoamento assume um cariz turbulento



Fernando Neto



# CORRELAÇÕES EMPÍRICAS PARA CONVECÇÃO LIVRE – CAVIDADES RECTANGULARES HORIZONTAIS

• Cavity horizontal com  $3 \times 10^5 \leq Ra_L < 7 \times 10^9$  :

$$\overline{Nu}_L = \frac{\overline{h} \cdot L}{\alpha} = 0,069 Ra_L^{1/3} Pr^{0,074}$$

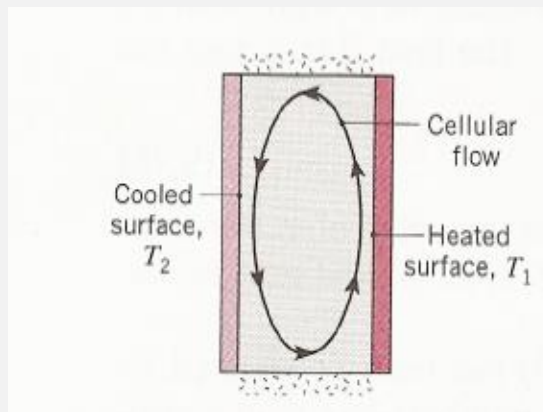
As propriedades devem ser avaliadas para  $T_M = 1/2(T_1 + T_2)$

Se  $\tau = 180^\circ$  (cavidade aquecida no topo) não existe transferência de calor por convecção, apenas por condução através do fluido



# CONVECÇÃO LIVRE EM CAVIDADES RECTANGULARES VERTICAIS

- Numa cavidade vertical ( $\tau=90^\circ$ ) em que as superfícies verticais se encontram às temperaturas  $T_1$  e  $T_2$  sendo as restantes superfícies adiabáticas, o escoamento é caracterizado pela recirculação (fluido a aquecer junto da parede quente e ascender ao topo e arrefecendo junto da parede fria e descendo)
- Para  $Ra < 1000$ , a convecção é pouco importante e a transferência de calor faz-se essencialmente por condução



# CORRELAÇÕES EMPÍRICAS PARA A CONVECÇÃO LIVRE EM CAVIDADES RECTANGULARES VERTICAIS (RA>1000)

$$\overline{Nu}_L = 0.22 \left( \frac{Pr}{0.2 + Pr} Ra_L \right)^{0.28} \left( \frac{H}{L} \right)^{-1/4}$$

$$\left[ \begin{array}{l} 2 < \frac{H}{L} < 10 \\ Pr < 10^5 \\ 10^3 < Ra_L < 10^{10} \end{array} \right]$$

$$\overline{Nu}_L = 0.18 \left( \frac{Pr}{0.2 + Pr} Ra_L \right)^{0.29}$$

$$\left[ \begin{array}{l} 1 < \frac{H}{L} < 2 \\ 10^{-3} < Pr < 10^5 \\ 10^3 < \frac{Ra_L Pr}{0.2 + Pr} \end{array} \right]$$

$$\overline{Nu}_L = 0.42 Ra_L^{1/4} Pr^{0.012} \left( \frac{H}{L} \right)^{-0.3}$$

$$\left[ \begin{array}{l} 10 < \frac{H}{L} < 40 \\ 1 < Pr < 2 \times 10^4 \\ 10^4 < Ra_L < 10^7 \end{array} \right]$$

$$\overline{Nu}_L = 0.046 Ra_L^{1/3}$$

$$\left[ \begin{array}{l} 1 < \frac{H}{L} < 40 \\ 1 < Pr < 20 \\ 10^6 < Ra_L < 10^9 \end{array} \right]$$



# CORRELAÇÕES EMPÍRICAS PARA A CONVECÇÃO LIVRE EM CAVIDADES RECTANGULARES INCLINADAS

$$\overline{Nu}_L = 1 + 1.44 \left[ 1 - \frac{1708}{Ra_L \cos \tau} \right] \cdot \left[ 1 - \frac{1708(\sin 1.8\tau)^{1.6}}{Ra_L \cos \tau} \right] + \left[ \left( \frac{Ra_L \cos \tau}{5830} \right)^{1/3} - 1 \right] \cdot \left[ \begin{array}{l} \frac{H}{L} \geq 12 \\ 0 < \tau \leq \tau^* \end{array} \right]$$

**TABLE 9.4** Critical angle for inclined rectangular cavities

$(H/L)$	1	3	6	12	>12
$\tau^*$	25°	53°	60°	67°	70°

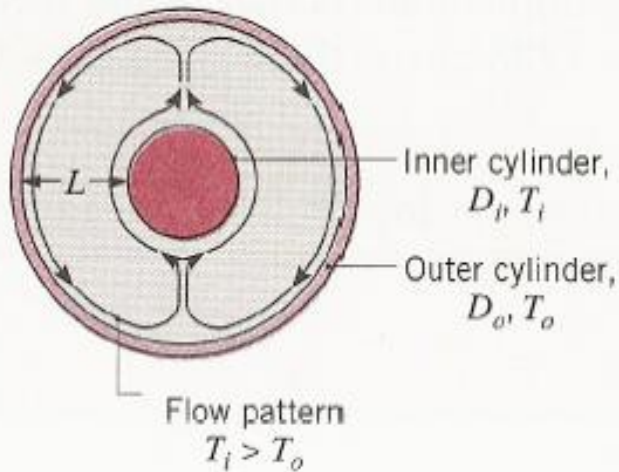
Se algum dos termos englobados por [ ] apresentar um valor negativo, o valor a adoptar deverá ser 0, o que conduz a que  $Nu=1$  (não existe convecção, apenas condução)





# CORRELAÇÕES EMPÍRICAS PARA A CONVECÇÃO LIVRE: CILINDROS CONCÊNTRICOS

# CORRELAÇÕES EMPÍRICAS PARA A CONVECÇÃO LIVRE EM CILINDROS CONCÊNTRICOS



$$q' = \frac{2\pi k_{\text{eff}}}{\ln(D_o/D_i)} (T_i - T_o)$$

$$\frac{k_{\text{eff}}}{k} = 0.386 \left( \frac{Pr}{0.861 + Pr} \right)^{1/4} (Ra_c^*)^{1/4}$$

$$Ra_c^* = \frac{[\ln(D_o/D_i)]^4}{L^3(D_i^{-3/5} + D_o^{-3/5})^5} Ra_L$$



# COMBINAÇÃO DE CONVECÇÃO LIVRE E CONVECÇÃO FORÇADA

# COMBINAÇÃO DE CONVECÇÃO LIVRE E CONVECÇÃO FORÇADA

Deverão ser considerados os efeitos conjuntos da convecção livre e da convecção forçada para os casos em que  $Gr/Re^2 \approx 1$

Neste caso os números de Nusselt associados quer à convecção livre,  $Nu_N$ , quer à convecção forçada,  $Nu_F$ , podem ser combinados

$$Nu^n = Nu_F^n + / - Nu_N^n$$

escolhendo-se o sinal positivo caso os efeitos da convecção sejam complementares e o sinal negativo caso esses efeitos sejam opostos. As melhores correlações são obtidas com  $n=3$ .

